

Du mercredi 12 au vendredi 14 juin 2013
Polydome, centre d'expositions et des congrès



Viroses Respiratoires Emergentes :

Grippes à Virus Aviaires : Aspects Cliniques *H5N1 versus H9N7*



Christian Chidac
HCL HDN Croix Rousse
UCBL1. UFR Lyon Sud – Charles Mérieux
CIRI INSERM U1111



Grippe à Virus A(H5N1). Cas Cumulés au 03 juin 2013 selon OMS

Country	2003-2009*		2010		2011		2012		2013		Total	
	cases	deaths	cases	deaths	cases	deaths	cases	deaths	cases	deaths	cases	deaths
Azerbaijan	8	5	0	0	0	0	0	0	0	0	8	5
Bangladesh	1	0	0	0	2	0	3	0	1	1	7	1
Cambodia	9	7	1	1	8	8	3	3	11	8	32	27
China	38	25	2	1	1	1	2	1	2	2	45	30
Djibouti	1	0	0	0	0	0	0	0	0	0	1	0
Egypt	90	27	29	13	39	15	11	5	4	3	173	63
Indonesia	162	134	9	7	12	10	9	9	0	0	192	160
Iraq	3	2	0	0	0	0	0	0	0	0	3	2
Lao People's Democratic Republic	2	2	0	0	0	0	0	0	0	0	2	2
Myanmar	1	0	0	0	0	0	0	0	0	0	1	0
Nigeria	1	1	0	0	0	0	0	0	0	0	1	1
Pakistan	3	1	0	0	0	0	0	0	0	0	3	1
Thailand	25	17	0	0	0	0	0	0	0	0	25	17
Turkey	12	4	0	0	0	0	0	0	0	0	12	4
Viet Nam	112	57	7	2	0	0	4	2	2	1	125	62
Total	468	282	48	24	62	34	32	20	20	15	630	375

Mortalité : 59 %



The NEW ENGLAND JOURNAL of MEDICINE

REVIEW ARTICLE

Volume 353:1374-1385 September 29, 2005 Number 13

Avian Influenza A (H5N1) Infection in Humans

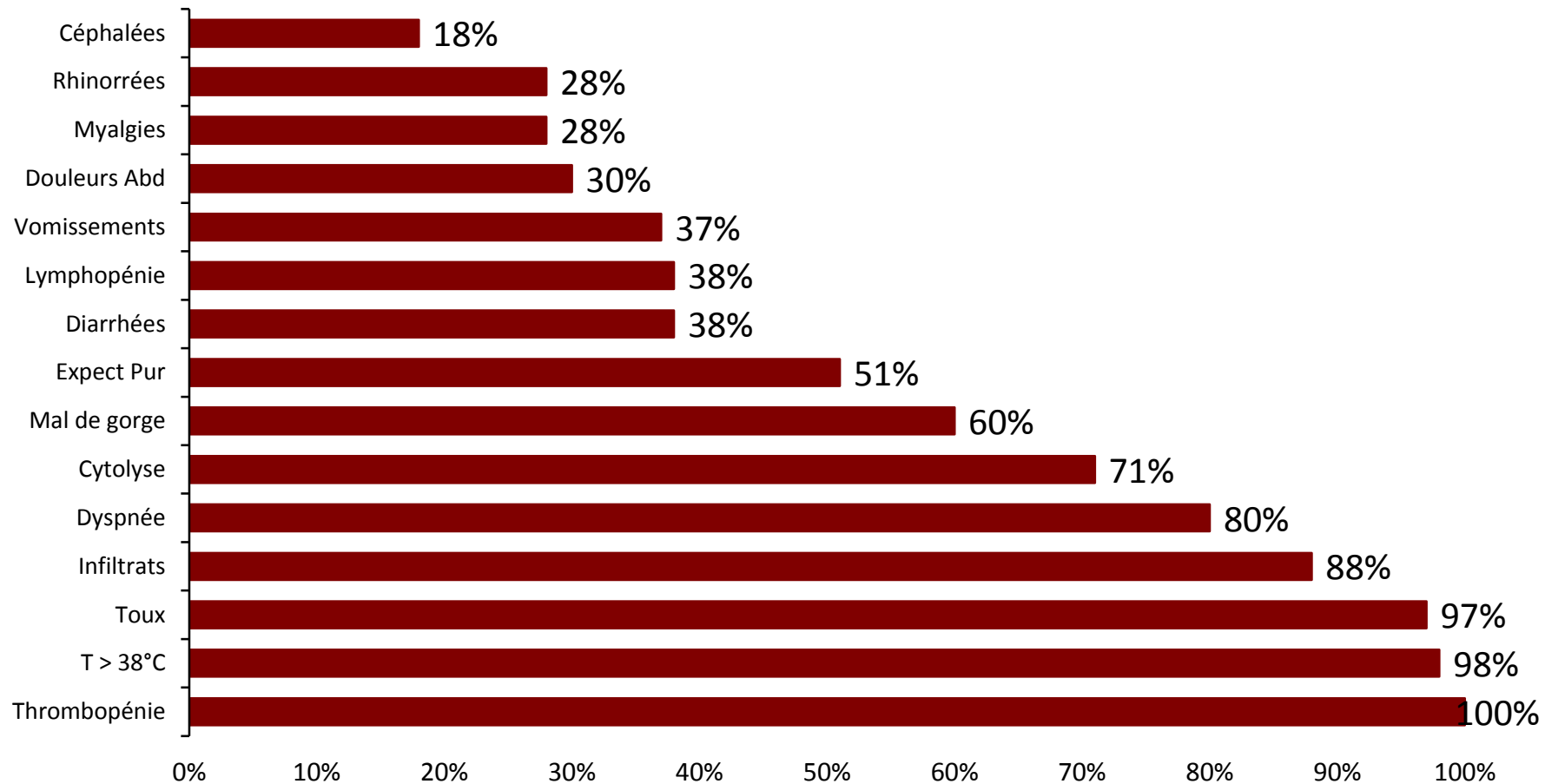
The Writing Committee of the World Health Organization (WHO) Consultation on Human Influenza A/H5

Caractéristiques des pts H5N1 (n=59) (I)

	Hong Kong 1997	Thaïlande 2004	Vietnam 2004	Ho Chi Minh 2005	Cambodge 2005
n	18	17	10	10	4
Age	9,5 1-60	14 2-58	13,7 5-24	19,4 6-35	22 8-28
Sexe M : n (%)	8 (44)	9 (53)	6 (60)	3 (30)	1 (25)
Incubation	-	4 2 - 8	3 2 - 4	-	-
Clusters familiaux		1	2	1	1
Exposition volailles malades	11/16 (70)	14/17 (82)	8/9 (89)	6/6 (100)	3/4 (75)
Délai symptômes/H	3 1-7	-	6 3-8	6 4-7	8 5-8

Adapté de WHO N Engl J Med 2005;353:1374-85

Caractéristiques des Patients avec Grippe H5N1, n = 59 (II)



Adapté de WHO N Engl J Med 2005;353:1374-85

Caractéristiques des pts H5N1 (n = 59) (III)

	Hong Kong 1997	Thaïlande 2004	Vietnam 2004	Ho Chi Minh 2005	Cambodge 2005
n	18	17	10	10	4
Ins.respiratoire	8 (44)	13 (76)	9 (90)	7 (70)	4 (100)
Ins. cardiaque	-	7 (41)	-	0	-
Ins. rénale	4 (22)	5 (29)	1 (10)	2 (20)	-
Traitement					
Amantadine	10 (56)	0	0	0	-
Ribavirine	1 (6)	0	2 (20)	0	-
Oseltamivir	0	10 (59)	5 (50)	10 (100)	-
Corticoïdes	5 (28)	8 (47)	7 (70)	5 (50)	-
Inotropes	-	8 (47)	2 (20)	-	

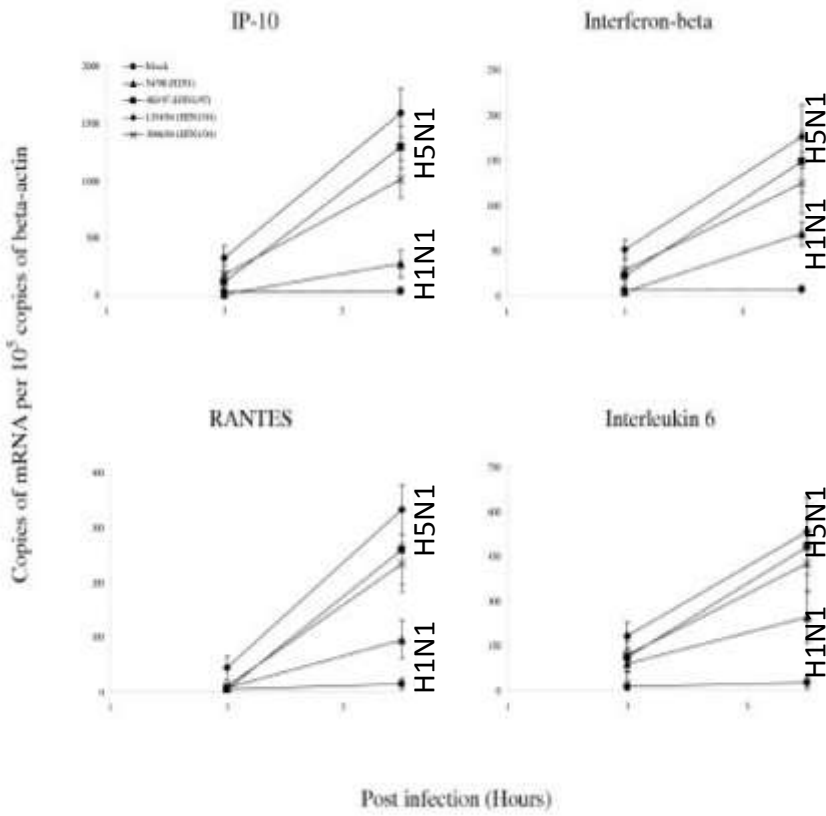
Adapté de WHO N Engl J Med 2005;353:1374-85

Synthèse

- Exposition : volailles +++
- Incubation plus longue que grippe « normale »
- Fièvre élevée, et ILI +++
- Diarrhée liquidienne plus fréquente
- Symptômes respiratoires et signes radiologiques marqués
- Défaillance multiviscérale fréquente
- Délai début signes/décès : long
- Décès liés à la défaillance respiratoire
- Mortalité importante $\geq 50\%$
- Résistance aux inhibiteurs de M2

Hyper Induced Cytokine and Chemokine Gene Expression in Primary Human type II Pneumocytes

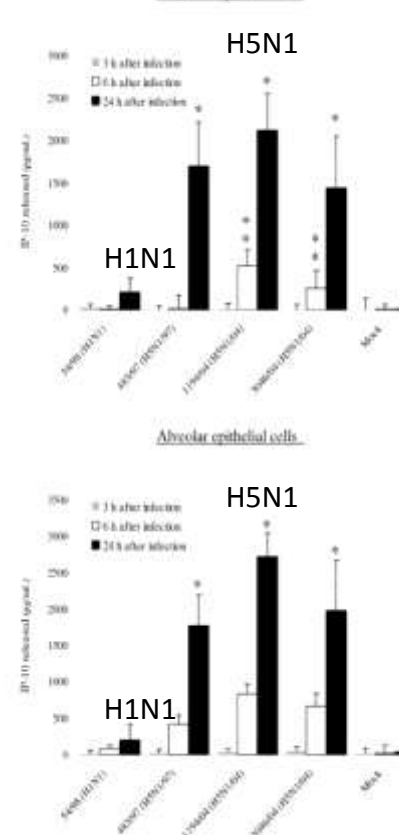
IP-10, RANTES, IL-6, IFN-beta mRNA



Gene expression in type II pneumocytes

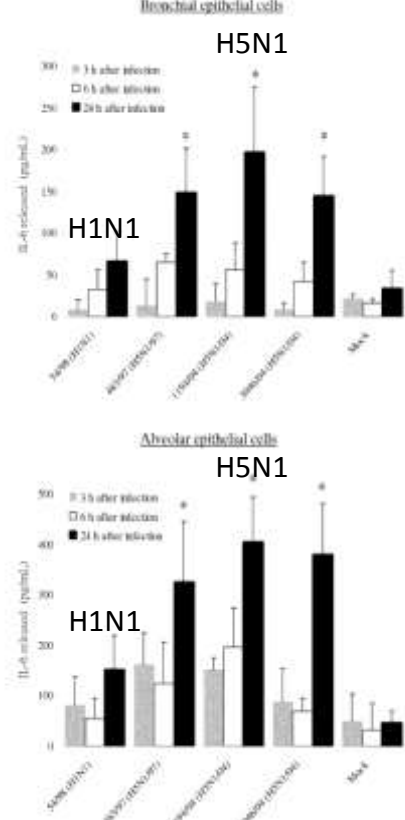
RANTES : Regulated on Activation, Normal T cell Expressed and Secreted

Bronchial epithelial cells

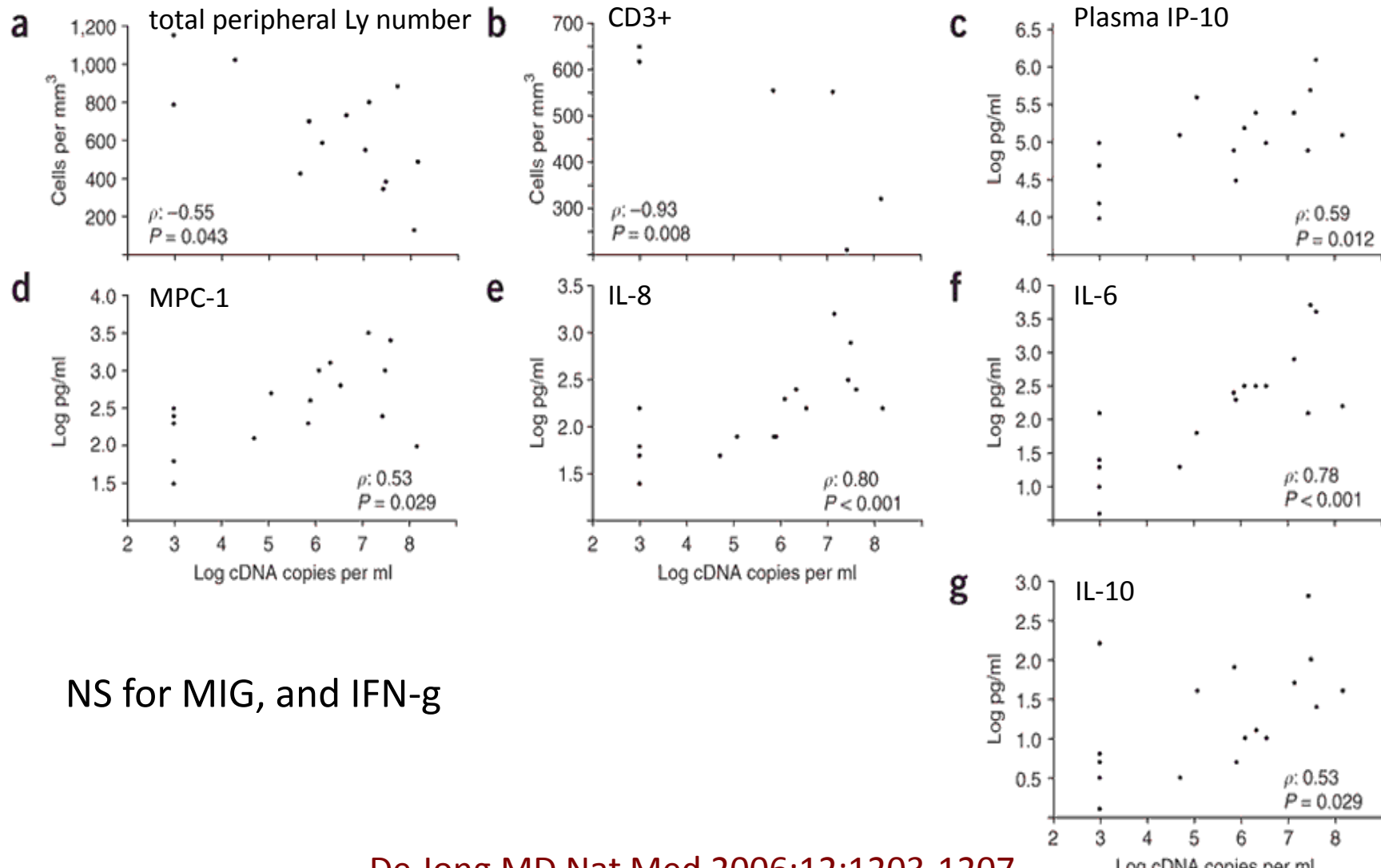


Cytokine production by bronchial and alveolar epithelial cells

Bronchial epithelial cells

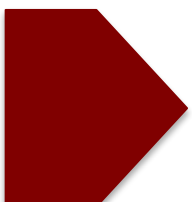


Correlations Between Pharyngeal Virus Load and Immunological Parameters in H5N1 Infection



Efficacité de l'Oseltamivir sur H5N1

- *In vitro :*
 - Leneva JA, Antiviral Res 2000;48:101-15
 - Govorkova EA, Antimicrob Agents Chemother 2001;45:2723-32.
- **Expérimental :**
 - modèle furet (Govorkova EA, 2006)
 - 100% de survie (dose et durée de traitement recommandées)
- **Clinique : absence de données fiables pour l'évaluation**
 - WHO (NEJM 2005) :
 - Disparition du virus en 3 j de traitement
 - Effectif limité (25), traitement tardif, gravité : évaluation difficile
 - De Jong :
 - 4/8 pts traités survivants
 - 2/4 échecs porteur résistance H274Y
 - Expérience Turque :
 - 4/13 échecs pts traités précocement



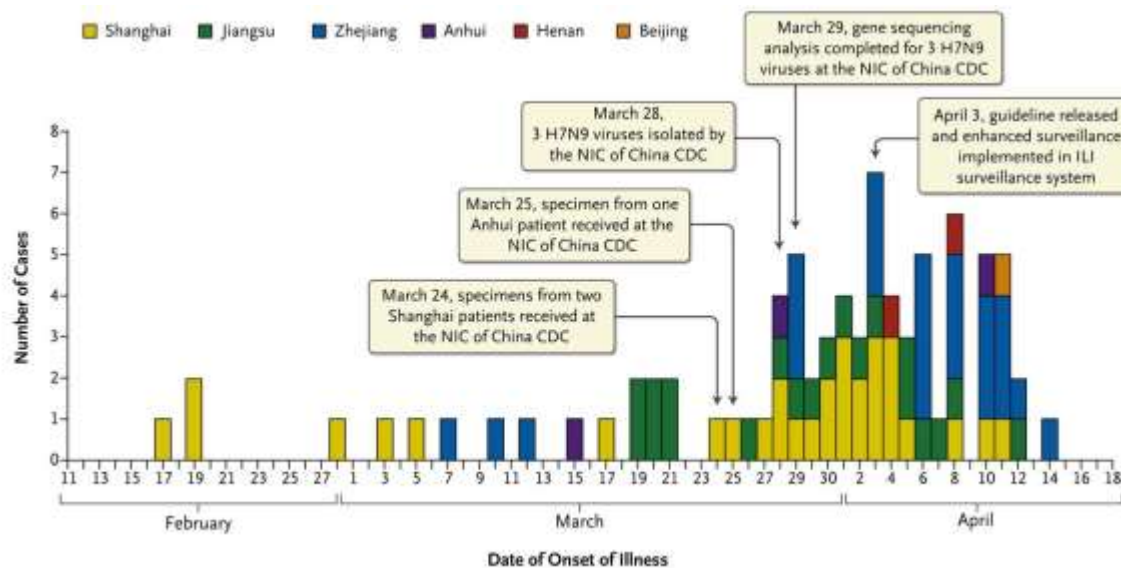
Challenge : optimisation de l'utilisation de l'oseltamivir
« Frapper vite.... et fort (?) »



World Health Organization

H7N9

Au 30 mai 2013
132 cas; 37 décès
Mortalité : 28%





Clinical Findings in 111 Cases of Influenza A (H7N9) Virus Infection

Characteristic	Value
Age	
Median (range) - Yr	61 (3-88)
Subgroup – no. (%)	
0-4	1 (0,9)
5-14	1 (0,9)
15-49	28 (25,2)
50-64	34 (30,6)
≥ 65	47 (42,3)
Female sex – no. (%)	35 (31,5)
Current smoker	27 (24,3)
Exposure to live poultry	
In previous 14 days – no (%)	62 (55,9)
Median incubation time since exposure (interquartile range) - days	5 (2-8)
Hospitalization – no. (%)	109 (98,2)

Characteristic	Value
Coexisting condition – no. (%)	
Any	68 (61,3)
Hypertension	51 (45,9)
Diabetes	18 (16,2)
Coronary heart disease	11 (9,9)
Immunosuppression	10 (9,0)
COPD	8 ((7,2))
Cancer	6 (5,4)
Cerebrovascular disease	4 (3,6)
Hepatitis B infection	4 (3,6)
Chronic renal disease	2 (1,8)
Pregnancy	2 (1,8)

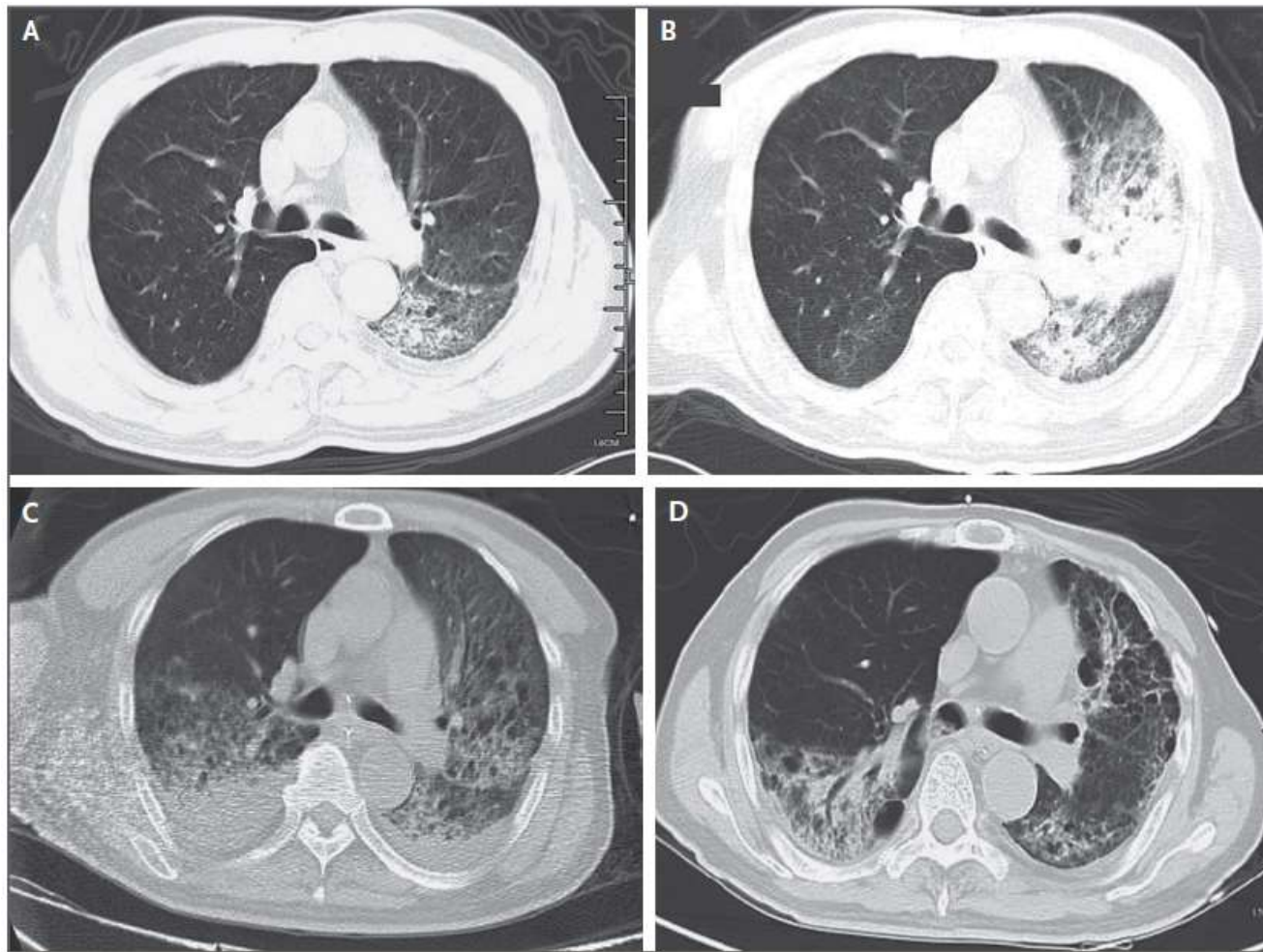
Clinical Characteristics and Selected Laboratory Abnormalities of 111 Patients Infected with H7N9 Virus

Characteristic	Value
Fever	
Any – no. (%)	111 (100)
Maximal temperature - °C	39,2 ± 0,8
Subgroup – no. (%)	
37,3 – 38,0°C	11 (9,9)
38,1 – 39,0°C	43 (38,7)
> 39°C	57 (51,4)
Fatigue – no. (%)	10 (36,0)
Conjunctivitis – no. (%)	0
Cough – no. (%)	100 (90,1)
Sputum production – no. (%)	62 (55,9)
Hemoptysis – no. (%)	27 (24,3)
Shortness of breath – no. (%)	62 (55,9)
Diarrhea or vomiting – no. (%)	15 (13,5)
White cells	
Median – per mm ³	4450
Interquartile range – per mm ³	2900-6320
Subgroup	
> 10 000 per mm ³	5 (4,5)
< 4 000 per mm ³	51 (45,9)
Lymphocytes – per mm ³	
Median	460
Interquartile range	320-700

Characteristic	Value
Lymphocytopenia – no. (%)	98 (988,3)
Hemoglobin – g/dl	12,9 ± 3,1
Platelets – per mm ³	
Median	115 500
Interquartile range	82 000 – 149 500
Thrombocytopenia – no. (%)	81 (73,0)
C-reactive protein >10mg/liter	85 (76,6)
Procalcitonin > 0,5 ng/ml – no. (%)	28 (37,3)
Aspartate amino transferase > 40 U/liter – no. (%)	73 (65,8)
Creatine kinase > 200 U/liter – no. (%)	49 (44,1)
Myoglobin > 80 µg/ml – no. (%)	16 (55,2)
PaO₂:FiO₂	
Median	144,0
Interquartile range	107,1-226,9
Potassium – mmol/liter	3,8 ± 0,5
Sodium – mmol/liter	136,8 ± 6,0
D-dimer > 0,5 mg/liter – no. (%)	47 (90,4)
Chest radiologic findings – no. (%)	
Involvement of both lungs	60 (54,1)
Ground-glass opacity	62 (55,9)
Consolidation	99 (89,2)



Clinical Findings in 111 Cases of Influenza A (H7N9) Virus Infection



Adapté de GAO HN N Engl J Med 2013 DOI : 10.1056/NEJMoa1305584



Clinical Findings in 111 Cases of Influenza A (H7N9) Virus Infection

Variable	Value no. (%)	Variable	Value no. (%)
Complications		Admission to an ICU	85 (76,6)
Pneumonia	108 (97,3)	ECMO	20 (18)
ARDS	79 (71,2)	Continuous renal replacement therapy	29 (26,1)
Shock	29 (26,1)	Artificial-liver-support-system therapy	17 (15,3)
Acute kidney injury	18 (16,2)	Antibiotics	79 (71,2)
Rhabdomyolysis	11 (9,9)	Antifungal drugs	1 (0,9)
Treatment		Glucocorticoids	69 (62,2)
Bacteria isolation from culture	29 (26,1)	Intravenous immune globulin	59 (53,2)
Administration of oseltamivir or peramivir	108 (97,3)	Clinical outcome	
Timing from onset of illness to antiviral therapy		Death	30 (27)
0-2 days	11 (9,9)	Cause of death	
3-5 days	32 (28,8)	Refractory hypoxemia	22 (73,3)
≥ 6 days	65 (58,6)	Shock	1 (3,3)
Oxygen therapy	111 (100)	Acute heart failure	2 (6,7)
Mechanical ventilation		Secondary bacterial or fungal infection	3 (10)
Non invasive	31 (27,9)	Arrhythmia	2 (6,7)
Invasive	65 (58,6)	Discharge from hospital	49 (44,1)

Adapté de GAO HN N Engl J Med 2013 DOI : 10.1056/NEJMoa1305584



Clinical Findings in 111 Cases of Influenza A (H7N9) Virus Infection

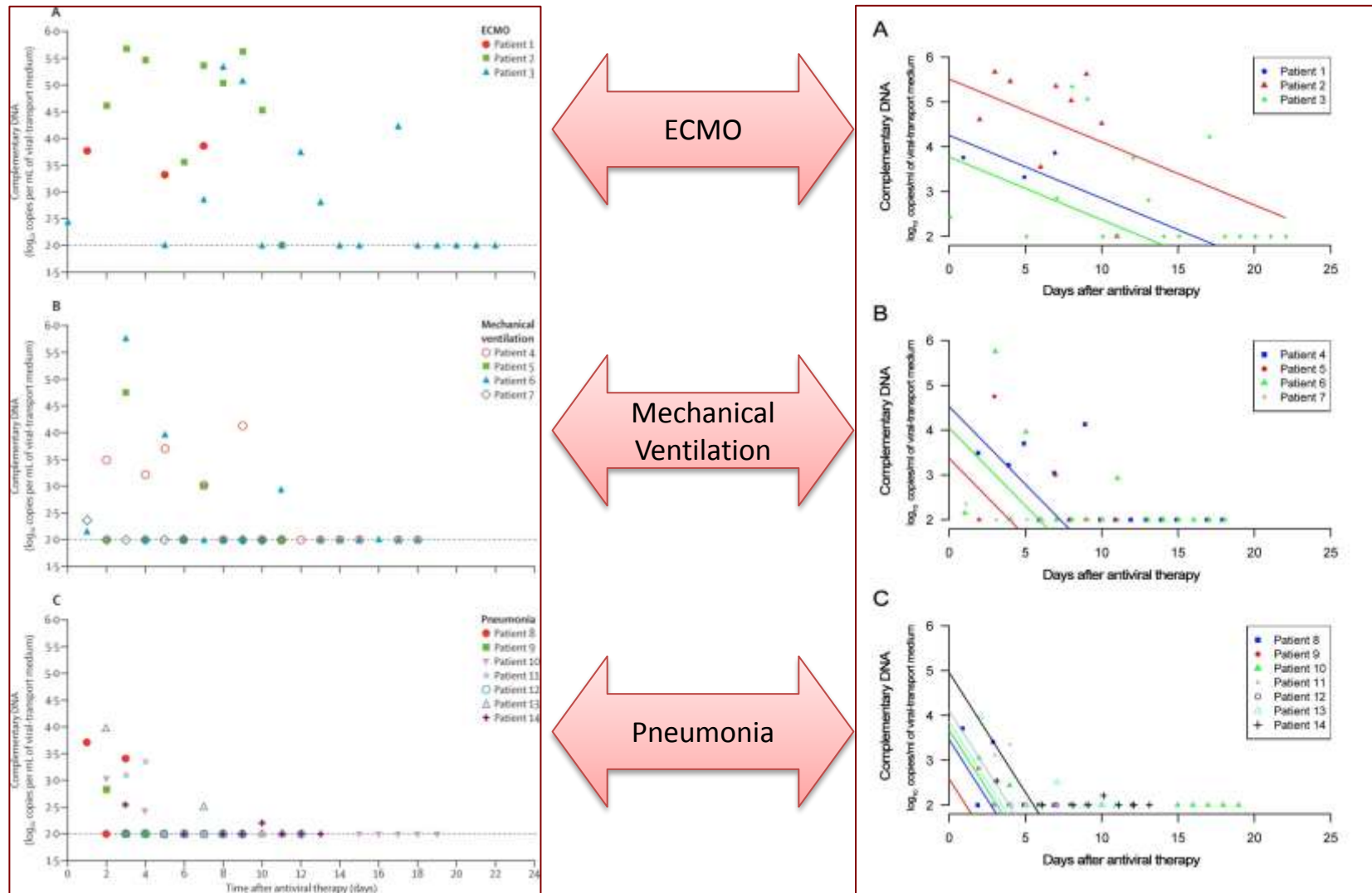
Multivariate Analysis of Risk Factors for the 79 Patients with the Acute Respiratory Distress Syndrome

Risk factor	Ods ratio (95% CI)	P value
Age ≥ 65 Yr	1,01 (0,99-1,03)	0,30
Coexisting medical condition	3,42 (1,21-9,70)	0,02
Lymphocyte count < 1000 cells/mm ³	2,73 (0,60-12,52)	0,20
Aspartate aminotransferase level > 40 U/liter	1,37 (0,42-4,43)	0,60
Creatine kinase level > 200 U/liter	1,80 (0,59-5,48)	0,30
Time from symptoms to NI > 3 days	2,42 (0,49-11,99)	0,28

Grippe AH7N9 : Évolution Défavorable, Portage Viral Prolongé & Résistance

- Méthodes :
 - 14 patients, hospitalisés (Shanghai), 4-20 Avril 2013,
 - Traités par oseltamivir ou peramivir < 2 j avant admission
 - Exploration répétée de la CV pharyngée, fèces, sérum, urines
 - Séquençage ARN viral : mutations associées à R aux INA?
 - Corrélation à l'évolution clinique
- Résultats :
 - 14 pts avec pneumonie, 7/14 VM, 3/14 ECMO, 2/14 décès.
 - 11 pts survivants : INA associés à réduction de la CV pharyngée
 - 3 pts ECMO dépendant : persistance CV élevée sous INA
 - Mutation Arg292Lys chez 2/3pts
 - Traités par CS
 - 1pt : Arg292 à J2 du tt
 - 1 pt : Lys292 à 9 j du tt

Grippe AH7N9 : Évolution Défavorable, Portage Viral Prolongé & Résistance



Grippe AH7N9 : Évolution Défavorable, Portage Viral Prolongé & Résistance

	CV admission		
	Médiane	Extremes	IQR
ECMO	3,76	2,43 – 4,61	52,43 – 4,61
VM	2,26	2,00 – 3,49	2,04 – 3,21
Pneumonie	3,05	2,00 – 3,97	0,68

- **Pic moyen de CV :**
 - CV ECMO > CV Pneumonie, $P = 0,033$
- **Modèle de régression linéaire :**
 - CV ECMO > CV Pneumonie, $p = 0,047$
 - CV ECMO > CV VM + pneumonie, $P = 0,02$

Grippe AH7N9 : Évolution Défavorable, Portage Viral Prolongé & Résistance

Group	Patient No.	Days after antiviral therapy	NA R292, Wild type CT value* (percentage†)	NA R292K, Mutant CT value* (percentage†)
ECMO	2	3	37.42 (32.42%)	36.36(67.58%)
		4	40.4(17.87%)	38.2(82.13%)
		7	39.57(3.68%)	34.86(96.32%)
		9	40.61(2.87%)	35.53(97.13%)
	3	2	36.81(100%)	Und‡
		9	Und	36(100%)
Mechanical Ventilation	4	2	Und	Und
		9	Und	Und
	6	2	39.14(100%)	Und
		4	Und	Und
Pneumonia	9	2	Und	Und
		3	Und	Und

*CT value indicates the threshold cycles of PCR
 †Percentage indicates the ratio of detected molecules among the whole population. The method of calculation is given in the supplementary materials. ‡Und=below detection limit.

Table S4: Differentiation of NA 292R and 292K population in patients by genotype specific Taqman assay



WHO Provisional Recommendation on Influenza A(H7N9) Vaccine Virus 31 05 13

- Critical insights into the evolution and biological properties of this novel influenza virus :
 - The virus is “low-pathogenic” for chickens, notwithstanding the capacity of these viruses to cause severe and fatal infections in people.
 - The virus appears to have acquired mutations associated with:
 - Adaptation of avian viruses to humans, swine and terrestrial poultry;
 - Increased transmissibility in experimentally infected ferrets; and
 - Enhanced replication at the temperature of the upper airway of mammalian hosts and possibly humans.
 - The virus is resistant to M2 inhibitors.
 - In general, the virus is sensitive to neuraminidase inhibitors (NI), although resistance may emerge during treatment.
 - Humans have very little or no existing cross protective immunity

Grippe A(H7N9) et Antiviraux

- Points à considérer :
 - Absence de vaccin
 - Sévérité des cas, mortalité substantielle
 - Transmission interhumaine limitée, mais potentialités de transmission
 - Sensibilité *in vitro* aux INA, inefficacité des adamantanes
 - Absence de données concernant traitement précoce par INA dans la grippe A(H7N9)
 - Mais leçons de la pandémie A(H1N1)
- Recommandations thérapeutiques (CDC)
 - Traiter le plus tôt possible par INA
 - Tous cas confirmés, probables, en investigation
 - Formes non compliquées, non sévères : oseltamivir ou zanamivir
 - Formes compliquées ou sévères : oseltamivir PO
 - Voire oseltamivir ou zanamivir IV

<http://www.cdc.gov/flu/avianflu/h7n9-antiviral-treatment.htm>

